

การควบคุมแข้งกลมมาสเตอร์-สเลฟจูน้ำด้วยไมโครคอมพิวเตอร์

นาย สมชาย ชันธรารามาคุณ



วิทยานิพนธ์นี้เป็นส่วนหนึ่งของการศึกษาตามหลักสูตรปริญญาวิศวกรรมศาสตรมหาบัณฑิต
ภาควิชาวิศวกรรมเครื่องกล

บัณฑิตวิทยาลัย จุฬาลงกรณ์มหาวิทยาลัย

พุทธศักราช 2535

ISBN 974-581-349-4

ลิขสิทธิ์ของบัณฑิตวิทยาลัย จุฬาลงกรณ์มหาวิทยาลัย

018510 : ๑๗๑๕๑๓๔๗

MICROCOMPUTER CONTROL OF THE MASTER-SLAVE CHULA2 MANIPULATOR ARM

Mr. Somchai Thanoodhammakhun

A Thesis Submitted in Partial Fulfillment of the Requirements
for the Degree of Master of Engineering

Department of Mechanical Engineering

Graduate School

Chulalongkorn University

1992

ISBN 974-581-349-4

หัวข้อวิทยานิพนธ์ การควบคุมแขกกลมมาลเตอร์-สเลฟจูพ้าด้วยไมโครคอมพิวเตอร์
โดย นาย สมชาย อนุธรรมากุณ
ภาควิชา วิศวกรรมเครื่องกล
อาจารย์ที่ปรึกษา ผู้ช่วยศาสตราจารย์ ดร. วิบูลย์ แสงวีระพันธุ์คิริ

บัณฑิตวิทยาลัย จุฬาลงกรณ์มหาวิทยาลัย อนุมัติให้นับวิทยานิพนธ์นับนี้เป็นส่วนหนึ่ง
ของการศึกษาตามหลักสูตรปริญญามหาบัณฑิต

..... คณบดีบัณฑิตวิทยาลัย
(ศาสตราจารย์ ดร. ถาวร วัชราภัย)

คณะกรรมการสอบวิทยานิพนธ์

..... ประธานกรรมการ
(ศาสตราจารย์ ดร. วรวิทย์ อังกฤษ)

..... อาจารย์ที่ปรึกษา
(ผู้ช่วยศาสตราจารย์ ดร. วิบูลย์ แสงวีระพันธุ์คิริ)

..... กรรมการ
(รองศาสตราจารย์ ดร. วิทยา ยงเจริญ)

..... กรรมการ
(ผู้ช่วยศาสตราจารย์ ดร. ชัยโรจน์ คุณพนิชกิจ)



พิมพ์ต้นฉบับทักษะอวิทยานิพนธ์ภายในกรอบสีเขียวนี้เพียงแผ่นเดียว

สมชาย ธรรมชาติ : การควบคุมแขนกลมาสเตอร์-สเลฟจุฬา2 ด้วยไมโครคอมพิวเตอร์
(MICROCOMPUTER CONTROL OF THE MASTER-SLAVE CHULA2 MANIPULATOR ARM)
อ.ที่ปรึกษา : พศ.ดร.วิบูลย์ แสงวีระพันธุ์ศิริ, 85 หน้า. ISBN 974-581-349-4

วิทยานิพนธ์ฉบับนี้ได้ศึกษาและวิเคราะห์ถึงการใช้ไมโครคอมพิวเตอร์ในการควบคุมทำแห่งของระบบแขนกลมาสเตอร์-สเลฟจุฬา2 ในเวลาจริง โดยใช้การป้อนกลับของตัวแปรสเท็ท มีการพิจารณาถึงผลของพารามิเตอร์ของระบบต่อผลตอบสนองเชิงเวลาและเสถียรภาพของระบบ แขนกลมาสเตอร์-สเลฟจุฬา2 ที่ใช้คลองเป็นแขนกลที่เคลื่อนที่ในแนวระดับ มีข้อต่อแบบหมุน 2 ข้อต่อ แขนกลสเลฟหรือแขนกลที่เคลื่อนที่ตาม มีขนาดใหญ่กว่า แต่ละข้อต่อถูกขับเคลื่อนด้วยมอเตอร์ไฟฟ้ากระแสตรงผ่านชุดเกียร์ทด

ผลการทดลองแสดงให้เห็นว่า แขนกลที่เคลื่อนที่ตาม สามารถเคลื่อนที่ตามการเคลื่อนที่ของแขนกลที่เคลื่อนที่นำในเวลาจริงได้อย่างมีประสิทธิภาพ การเพิ่มค่าเกน (หรือความถี่ธรรมชาติ) จะทำให้เกิดความผิดพลาดของทำแห่งน้อยลง แต่การเพิ่มความเวลาในการสั่น จะทำให้เกิดความผิดพลาดของทำแห่งมากขึ้น อย่างไรก็ตาม หากเพิ่มค่าเกนหรือเพิ่มความเวลาในการสั่นมากเกินไป อาจจะทำให้ระบบเกิดการแกว่งหรือไม่มีเสถียรภาพได้

ภาควิชา วิศวกรรมเครื่องกล
สาขาวิชา วิศวกรรมเครื่องกล
ปีการศึกษา 2534

ลายมือชื่อนิสิต
ลายมือชื่ออาจารย์ที่ปรึกษา
ลายมือชื่ออาจารย์ที่ปรึกษาร่วม

พิมพ์ต้นฉบับนักศึกษาอวิทยานิพนธ์ภายในกรอบสีเขียวนี้เพียงแผ่นเดียว

C015932 : MAJOR MECHANICAL ENGINEERING

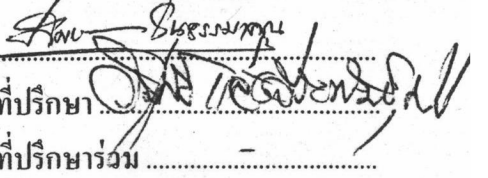
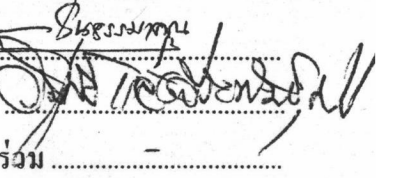
KEY WORD : MASTER-SLAVE/MICROCOMPUTER

SOMCHAI THANODHAMMAKHUN : MICROCOMPUTER CONTROL OF THE MASTER-SLAVE CHULA2 MANIPULATOR ARM. THESIS ADVISOR : ASST.PROF. DR. VIBOON SANGVERAPHUNSIRI, 85 PP. ISBN 974-581-349-4

This thesis studies and analyses a real-time microcomputer-based position control of the master-slave CHULA2 manipulator arm by using state-variable-feedback. The effect of system parameters to time response and system stability is discussed. The tested master-slave CHULA2 manipulator arm has two revolving joints with plane-motion manipulator arm. The slave arm is bigger than the master's and each joint is indirectly driven by a d.c. servomotor.

The experimental results show that the slave arm can effectively track, in real time, the movement of the master arm. Increase of gain (or natural frequency) will decrease the maximum position error while increase of the sampling time will increase the maximum position error. However, excessive increase of gain or sampling time may cause the system oscillation or eventually unstable.

ภาควิชา วิศวกรรมเครื่องกล
สาขาวิชา วิศวกรรมเครื่องกล
ปีการศึกษา 2534

ลายมือชื่อนิสิต 
ลายมือชื่ออาจารย์ที่ปรึกษา 
ลายมือชื่ออาจารย์ที่ปรึกษาร่วม -

กิตติกรรมประกาศ

วิทยานิพนธ์ฉบับนี้สำเร็จลุล่วงไปได้ด้วยความช่วยเหลืออย่างดียิ่งของ พศ.ดร. วินูลย์ แสงวีระพันธุ์คุริ อาจารย์ที่ปรึกษาวิทยานิพนธ์ ซึ่งท่านได้กราบเลี้ยงเวลาเพื่อให้คำปรึกษา คำแนะนำตลอดจนข้อคิดเห็นต่าง ๆ อันเป็นประโยชน์อย่างยิ่งต่อการวิจัย ผู้วิจัยขอขอบพระคุณ ผู้วิจัยของจุฬาลงกรณ์มหาวิทยาลัยและบัณฑิตวิทยาลัย ซึ่งได้ให้ทุนโครงการ "ผู้ช่วยวิจัย" สำหรับโครงการ "การควบคุมแบบย้อนกลับของหุ่นยนต์อุตสาหกรรมชนิดสามแแก้ม" แก่ผู้วิจัย ทำให้ผู้วิจัยสามารถดำเนินงานการวิจัยไปได้ด้วยดี และเนื่องจากทุนของการวิจัยนี้ส่วนหนึ่งได้รับมาจากการอุดหนุนการวิจัยของบัณฑิตวิทยาลัย จึงขอขอบพระคุณบัณฑิตวิทยาลัยอีกครั้งมา ณ ที่นี้ด้วย

ท้ายนี้ ผู้วิจัยขอกราบขอบพระคุณ มารดา ซึ่งได้สนับสนุนในด้านการเงินและให้กำลังใจแก่ผู้วิจัยเสมอมาจนกระทั่งสำเร็จการศึกษา

สารบัญ

หน้า

บทคัดย่อภาษาไทย	๒
บทคัดย่อภาษาอังกฤษ	๓
กิตติกรรมประกาศ	๔
สารบัญตาราง	๕
สารบัญภาพ	๖
คำอธิบายลัญญาลักษณ์และคำย่อ	๗
บทที่	
1. บทนำ	1
2. ความรู้พื้นฐานเกี่ยวกับแขนงกลมาสเทอร์-สเลฟ	4
3. แบบจำลองทางคณิตศาสตร์ของแขนงกล	11
4. ระบบควบคุมอัตโนมัติ	30
5. การวิเคราะห์ระบบควบคุมอัตโนมัติแบบบัวนกลับ	37
6. การวิเคราะห์ระบบควบคุมอัตโนมัติแบบไม่ต่อเนื่อง	43
7. การทดลอง	56
8. สรุปผลการวิจัยและข้อเสนอแนะ	70
เอกสารอ้างอิง	72
ภาคผนวก	73
ประวัติผู้เขียน	85

สารนักศึกษา

ตารางที่

หน้า

7.1 ค่าพารามิเตอร์ของระบบที่ใช้ในการทดลอง	58
7.2 ผลการทดลองการหาค่าเกณ	58
7.3 ผลการทดลองเปลี่ยนความเวลาในการสั่ม	63
7.4 ผลการทดลองควบคุมแบบออนไลน	65

สารนัยนาพ

รูปที่		หน้า
2.1	แสดงความล้มเหลวที่ระห่ำทั่วทั้งมนุษย์และเครื่องจักรในระดับที่ 1	4
2.2	แสดงความล้มเหลวที่ระห่ำทั่วทั้งมนุษย์และเครื่องจักรในระดับที่ 2	5
2.3	แสดงความล้มเหลวที่ระห่ำทั่วทั้งมนุษย์และเครื่องจักรในระดับที่ 3	6
2.4	แสดงความล้มเหลวที่ระห่ำทั่วทั้งมนุษย์และเครื่องจักรในระดับที่ 4	6
2.5	แสดงความล้มเหลวที่ระห่ำทั่วทั้งมนุษย์และเครื่องจักรในระดับที่ 5	7
2.6	แสดงระบบแขนกลมาส เตอร์-สเลนที่ถ่ายทอดข้อมูลด้วยกลไก	8
2.7	แสดงระบบแขนกลมาส เตอร์-สเลนที่ถ่ายทอดข้อมูลผ่านคอมพิวเตอร์	9
2.8	การควบคุมแขนกลวิธีที่ 1	10
2.9	การควบคุมแขนกลวิธีที่ 2	10
3.1	แสดงแขนกลที่ใช้ในโครงการวิจัย	12
3.2	แสดงลักษณะของแขนกลที่เคลื่อนที่ตาม	14
3.3	แสดงลักษณะของมอเตอร์, เกียร์ทด และโหลดสำหรับแขนกลนี้เอง	19
4.1	บล็อก ไดอะแกรมของการควบคุมแบบบันกลับสำหรับระบบแบบผสม	30
4.2	บล็อก ไดอะแกรมของการควบคุมอัตโนมัติแบบบันกลับ	36
5.1	แสดงลักษณะของลักษณะเข้าที่ใช้ในการวิเคราะห์	38
6.1	บล็อก ไดอะแกรมของระบบควบคุมอัตโนมัติแบบไม่ต่อเนื่อง	44
6.2	แสดงบริเวณของ POLES ของระบบที่มีเสถียรภาพนرধนาใน Z-PLANE	53
6.3	แสดงทางเดินของ POLES ในกรณีที่ 1 สำหรับแขนกลข้อต่อที่ 1	54
6.4	แสดงทางเดินของ POLES ในกรณีที่ 2 สำหรับแขนกลข้อต่อที่ 1	54
6.5	แสดงทางเดินของ POLES ในกรณีที่ 1 สำหรับแขนกลข้อต่อที่ 2	55
6.6	แสดงทางเดินของ POLES ในกรณีที่ 2 สำหรับแขนกลข้อต่อที่ 2	55
7.1	แสดงตำแหน่งและทางเดินบนรูปแบบของ Z-PLANE ของ ข้อมูลอ้างอิง ที่ใช้ทดลอง ควบคุมแบบอิเล็กทรอนิกส์	57
7.2	แสดงตำแหน่งและความผิดพลาดของตำแหน่งในการทดลองหาค่าเกณฑ์	
4		60

7.3 แสดงความเร็ว และความผิดพลาดของความเร็ว ใน การทดลองหาค่าแกน กรณีที่ 4	61
7.4 แสดงแรงบิดและทางเดินบนรูปแบบ X-Y ใน การทดลองหาค่าแกน กรณีที่ 4	62
7.5 แสดงตัวแหน่งและทางเดินบนรูปแบบ X-Y ใน การทดลองเปลี่ยนค่าเบลา ในการลุ่ม โดยใช้ $T = 20 \text{ msec}$	64
7.6 แสดงตัวแหน่ง และ ทางเดินบนรูปแบบ X-Y ใน การทดลองควบคุม แบบ ออนไลน์ กรณีที่ 1	66
7.7 แสดงตัวแหน่ง และ ทางเดินบนรูปแบบ X-Y ใน การทดลองควบคุม แบบ ออนไลน์ กรณีที่ 2	67
7.8 แสดงตัวแหน่ง และ ทางเดินบนรูปแบบ X-Y ใน การทดลองควบคุม แบบ ออนไลน์ กรณีที่ 3	68
7.9 แสดงตัวแหน่ง และ ทางเดินบนรูปแบบ X-Y ใน การทดลองควบคุม แบบ ออนไลน์ กรณีที่ 4	69
ก.1 แสดงส่วนประกอบของระบบการควบคุมแขนกลมาสเตอร์-ลีฟ	75
ก.2 แสดงรายละเอียดของมอเตอร์สำหรับข้อต่อที่ 1	78
ก.3 แสดงรายละเอียดของมอเตอร์สำหรับข้อต่อที่ 2	79
ข.1 แสดงโครงสร้างทั้งหมดของโปรแกรมที่ใช้ในการควบคุม	81

คำอธิบายลักษณะและคำย่อ

a	-	สมाचิกในเมตริกซ์ของ A
b	-	สมाचิกในเมตริกซ์ของ B
c	-	ค่าพารามิเตอร์ของมอเตอร์
e	-	ค่าความพิดปลาด หรือ EXPONENTIAL
f	-	ฟังก์ชัน
k	-	สมाचิกในเมตริกซ์ของ K หรือ ครึ่งที่ในการสูญเวลา
m	-	มวล
n	-	อัตราทดราหว่างเกียร์ที่เพลาของมอเตอร์กับเกียร์ที่เพลาของแขนกล
q	-	ตัวแหน่งในพิกัดที่้าไป
r	-	รัศมีพิกัดของเกียร์
t	-	เวลา
u	-	สมाचิกในเมตริกซ์ของ U
v	-	ความเร็วเชิงเส้น
x	-	ตัวแหน่งเชิงเส้นในแนวแกน X หรือ สมाचิกในเมตริกซ์ของ X หรือ ตัวแหน่งเชิงมุม
y	-	ตัวแหน่งเชิงเส้นในแนวแกน Y
A	-	เมตริกซ์ของระบบ (SYSTEM MATRIX) เมื่อพิจารณาระบบแบบต่อเนื่อง
B	-	เมตริกซ์ของลักษณะเข้า (INPUT MATRIX) เมื่อพิจารณาระบบแบบต่อเนื่อง หรือ สัมประสิทธิ์ความหน่วง
CPU	-	CENTRAL PROCESSOR UNIT
CG	-	จุดศูนย์กลางมวล
D	-	สัมประสิทธิ์ความหน่วงเทียบเท่า หรือ ลักษณะเดิมๆ
DMA	-	DIRECT MEMORY ACCESS
D/A	-	DIGITAL TO ANALOG
I	-	โนเมนต์ความจำเป็นของมวลเทียบเท่า หรือ เมตริกซ์ของโนเมนต์ความจำเป็นของมวล หรือ กระแสไฟฟ้า
I/O	-	INPUT AND OUTPUT
J	-	โนเมนต์ความจำเป็นของมวล

K	-	เมตริกซ์ของค่าเกณฑ์
KE	-	พลังงานเฉลี่วรวมของระบบ
L	-	ค่าของลากรานจ์ โดยที่ $L = KE - PE$ หรือ ความย่าง
N	-	จำนวนฟันเกียร์
P	-	เมตริกซ์ของระบบ (SYSTEM MATRIX) เมื่อพิจารณาแบบไม่ต่อเนื่อง
PE	-	พลังงานศักย์รวมของระบบ
Q	-	เมตริกซ์ของลักษณะเข้า (INPUT MATRIX) เมื่อพิจารณาแบบไม่ต่อเนื่อง หรือ แรงโน้มถ่วงไป
SDP	-	SERVO DATA PROCESSOR
T	-	คาบเวลาในการสูม หรือ แรงบิด
U	-	เมตริกซ์ของเวคเตอร์ลักษณะเข้า (INPUT VECTOR)
V	-	เมตริกซ์ของลسطูกเวคเตอร์และเวคเตอร์ลักษณะเข้า หรือ แรงดันทางไฟฟ้า
X	-	เมตริกซ์ของลسطูกเวคเตอร์ของระบบ (STATE VECTOR)
Y	-	เมตริกซ์ของเวคเตอร์ลักษณะเข้า (INPUT VECTOR)
ZOH	-	ZERO-ORDER HOLD
ε	-	ตัวแหน่งเชิงมุม
ζ	-	อัตราส่วนของความหน่วง (DAMPING RATIO)
ω	-	ความถี่ธรรมชาติ (NATURAL FREQUENCY)
n()	-	ความแตกต่างน้อยของตัวแปรในวงเล็บจากจุดทำงานปกติ (NOMINAL STATE)
(.)	-	อนุพันธ์อันดับที่ 1 เทียบกับเวลาของตัวแปรในวงเล็บ
(..)	-	อนุพันธ์อันดับที่ 2 เทียบกับเวลาของตัวแปรในวงเล็บ

ตัวอักษรห้อยท้าย (Subscript)

c	-	ที่จุดศูนย์กลางมวล
d	-	ที่ต้องการ
i	-	ของแคลวีที่ i หรือ ของข้อต่อที่ i หรือ กรณีที่ i
ij	-	ของแคลวีที่ i คอลัมน์ที่ j หรือ ของข้อต่อที่ i เทียบกับข้อต่อที่ j
M	-	ของโมเตอร์
o	-	ที่จุดทำงานปกติ (NOMINAL STATE)
ss	-	ที่สภาวะสมดุลย์ (STEADY STATE)